



Laboratorium EMVO Sp. J. Urbański, Pawełak

ul. Jasna 1
00-013 Warszawa

tel. +48 22 780 29 64

e-mail: laboratorium@emvo.pl



AB 1630

Sprawozdanie z pomiarów pól elektromagnetycznych - środowisko nr 15/01/OŚ/2023-P4-W



Nr i nazwa stacji	MLA3310A	
Adres	Mława, dz. nr 498/1, pow. mławski, woj. mazowieckie	
Opracowanie	Wiesław Laskowski	Specjalista ds. pomiarów
Autoryzacja	Andrzej Urbański	Kierownik Laboratorium
Podpis		
Data	2023-01-10	

„Bez pisemnej zgody Laboratorium niniejsze sprawozdanie nie może być powielane inaczej, jak tylko w całości. Ponadto wyniki dotyczą tylko badanych obiektów przywołanych w niniejszym sprawozdaniu z badań”

Spis treści

1. Informacje ogólne.	3
2. Podstawa prawna.	3
3. Opis pomiarów	3
4. Zróżnicowanie dopuszczalne poziomy pól elektromagnetycznych.....	4
5. Charakterystyka źródeł PEM.....	5
6. Wyniki pomiarów.	6
7. Stwierdzenie zgodności	8
8. Oświadczenie.....	8
9. Spis załączników.	8

1. Informacje ogólne.

Zleceniodawca	P4 Sp. z o.o., ul. Wynałazek 1, 02-677 Warszawa osoba udzielająca informacji – Monika Bieroza
Istotne informacje dostarczone przez klienta	komplet informacji niezbędnych do wykonania pomiarów i opracowania sprawozdania
Dane otrzymane od klienta mogące mieć wpływ na ważność wyników	dane anten sektorowych, dane anten radioliniowych, parametry pracy instalacji, poprawka pomiarowa
Prowadzący instalację	P4 sp. z o.o., ul. Wynałazek 1, 02-677 Warszawa
Lokalizacja obiektu	Mława, dz. nr 498/1, pow. mławski, woj. mazowieckie
Miejsce instalacji anten	wieża typu MONOBOT
Miejsce instalacji urządzeń	outdoor
Osoby wykonujące pomiar	Jarosław Buzafa - pomiarowiec
Data wykonania pomiaru	2023-01-10
Godzina rozpoczęcia pomiaru	8.20
Godzina zakończenia pomiaru	9.50
Temperatura na początku pomiaru [°C]	5
Temperatura na koniec pomiaru [°C]	5
Warunki atmosferyczne	brak opadów
Wilgotność na początku pomiaru [%]	90
Wilgotność na koniec pomiaru [%]	90
Inne źródła pól elektromagnetycznych oznaczone na załączniku graficznym	nie występują
Parametry pracy instalacji	eksploatacyjny

2. Podstawa prawna.

2.1 Normy i rozporządzenia:

- Rozporządzeniem Ministra Klimatu z dnia 17 lutego 2020 r. w sprawie sposobów sprawdzania dotrzymania dopuszczalnych poziomów pól elektromagnetycznych w środowisku (Dz.U. 2020 poz. 258)
- Rozporządzenie Ministra Zdrowia z dnia 17 grudnia 2019 r. w sprawie dopuszczalnych poziomów pól elektromagnetycznych w środowisku (Dz.U. 2019 poz. 2448)
- Obwieszczenie Marszałka Sejmu Rzeczypospolitej Polskiej z dnia 29 września 2021 r. w sprawie ogłoszenia jednolitego tekstu ustawy - Prawo ochrony środowiska (Dz.U. 2021 poz. 1973)
- Rozporządzenie Ministra Klimatu i Środowiska z dnia 6 maja 2022 r. zmieniające rozporządzenie w sprawie sposobów sprawdzania dotrzymywania dopuszczalnych poziomów pól elektromagnetycznych w środowisku (Dz.U. 2022 poz. 1121).

3. Opis pomiarów

Metodologia pomiarowa Pomiary w oparciu o Rozporządzeniem Ministra Klimatu z dnia 17 lutego 2020 r. w sprawie sposobów sprawdzania dotrzymania dopuszczalnych poziomów pól elektromagnetycznych w środowisku (Dz.U. 2020 poz. 258) oraz Rozporządzenie Ministra Klimatu i Środowiska z dnia 6 maja 2022 r. zmieniające rozporządzenie w sprawie sposobów sprawdzania dotrzymywania dopuszczalnych poziomów pól elektromagnetycznych w środowisku (Dz.U. 2022 poz. 1121).

Cel badań Określenie wartości natężenia pola elektrycznego w miejscach dostępnych dla ludności.

Opis zestawu pomiarowego	Miernik Narda NBM 520, Sonda EF 9091, o zakresie pomiarowym 0,7 V/m - 300V/m pracująca w paśmie 0,1 – 90 GHz, świadectwo wydane przez Laboratorium Wzorców i Metrologii Pola Elektromagnetycznego, Instytut Telekomunikacji, Teleinformatyki i Akustyki Politechniki Wrocławskiej. Świadectwo ważne do 07.07.2023. Miernik Narda NBM 520, Sonda EF 9091 pracująca w zakresie temperatury -10°C - +50°C oraz wilgotności 5% - 95%. Niepewność rozszerzona wynosi 57,4% przy poziomie ufności 95% z uwzględnieniem współczynnika rozszerzenia k=2.
Wyposażenie pomocnicze	Termohigrometr Termoprodukt, typ: Termik+, Nr. inwentarzowy 37/WL, nr identyfikacyjny 700618, świadectwo wzorcowania nr 1763/AH/19 z dn. 29.07.2019 r. wydane przez Laboratorium Pomiarowe "MUTECH". Przymiar wstęgowy STABILA, Nr. inwentarzowy 36/WL, nr identyfikacyjny 31WL, świadectwo wzorcowania nr 6W1/1826/19 z dn. 02.08.2019 r. wydane przez Dyrektora Okręgowego Urzędu Miar w Gdańsku. GPS Garmin 64s okresowo sprawdzany w punktach osnowy geodezyjnej klasy 3 na podstawie licencji punktu, zgodnie z procedurą sprawdzeń okresowych IS/PO16-11/03.
Pomiary zostały wykonane	<ol style="list-style-type: none"> na głównych i pomocniczych kierunkach pomiarowych, na kierunkach zbliżonych do azymutów anten oraz w dodatkowych pionach pomiarowych zgodnie z wymaganiami pkt 12, 13, 14 i 19 Rozporządzenia Ministra Klimatu z dnia 17 lutego 2020 r. (Dz. U. 2020, poz. 258) oraz Rozporządzenia Ministra Klimatu i Środowiska z dnia 6 maja 2022 r. zmieniającego rozporządzenie w sprawie sposobów sprawdzania dotrzymania dopuszczalnych poziomów pól elektromagnetycznych w środowisku (Dz.U. 2022 poz. 1121). na obszarze pomiarowym, dla którego, na podstawie uprzednio przeprowadzonych obliczeń stwierdzono w miejscach dostępnych dla ludności występowanie pól elektromagnetycznych o najwyższym poziomie, które pochodzą z badanej instalacji zgodnie z wymaganiami pkt 5 ppkt 2 oraz pkt 13 ppkt 1 Rozporządzenia Ministra Klimatu z dnia 17 lutego 2020 r. w sprawie sposobów sprawdzania dotrzymania dopuszczalnych poziomów pól elektromagnetycznych w środowisku (Dz. U. 2020, poz. 258) oraz Rozporządzenia Ministra Klimatu i Środowiska z dnia 6 maja 2022 r. zmieniającego rozporządzenie w sprawie sposobów sprawdzania dotrzymania dopuszczalnych poziomów pól elektromagnetycznych w środowisku (Dz.U. 2022 poz. 1121). Wyniki obliczeń nie uwzględniały parametrów pracy instalacji innych operatorów występujących na obiekcie bądź w obszarze pomiarowym. w miejscach dostępnych dla ludności. miejsca niedostępne podczas wykonywania pomiarów wskazane zostały w pkt 6 (tabeli wyniki pomiarów).
Szczególne warunki podczas wykonywania pomiarów	Pomiary wykonane zostały podczas obowiązywania w kraju stanu zagrożenia epidemicznego, zgodnie z art. 122a ust. 1b Ustawy z dnia 27 kwietnia 2001 r. – Prawo ochrony środowiska (Dz. U. z 2019 r. poz. 1396, z późn. zm.9))
Warunki pracy urządzeń nadawczych	Tryb pracy eksploatacyjny.

4. Zróżnicowanie dopuszczalne poziomy pól elektromagnetycznych.

Zgodnie z informacją otrzymaną od Klienta pomiary zostały wykonane przy ustawieniach pochylecia anten zgodnych z pkt. 13, ppkt 2 Rozporządzenia Ministra Klimatu z dnia 17 lutego 2020 roku.

Zakres częstotliwości pola elektromagnetycznego	Parametr fizyczny		
	Składowa elektryczna E (V/m)	Składowa magnetyczna H (A/m)	Gęstość mocy S (W/m ²)
od 400 MHz do 2000 MHz	$1,375 \times f^{0,5}$	$0,0037 \times f^{0,5}$	f / 200
od 2 GHz do 300 GHz	61	0,16	10

5. Charakterystyka źródeł PEM.

Zgodnie z informacją otrzymaną od klienta pomiary zostały wykonane przy ustawieniach pochylenia anten zgodnych z pkt. 13, ppkt 2 załącznika do rozporządzenia Ministra Klimatu z dnia 17 lutego 2020 roku.

Tabela 1. Anteny sektorowe - dane otrzymane od klienta

Charakterystyka promieniowania		kierunkowa									
Rzeczywisty czas pracy [h/dobę]		24									
Rodzaj wytwarzanego pola		stacjonarne									
Lp.	Wyszczególnienie	sektor 1					sektor 2				
I	Nadajnik stacji bazowej:										
1	Typ / Producent	DBS/RBS / Overlay Huawei/Ericsson									
2	Częstotliwość (pasmo) MHz	2600	800	2100	1800	900	2600	800	2100	1800	900
3	Maksymalna moc nadawana na sektor [dBm]	52,04	46,02	53,01	53,01	46,02	52,04	46,02	53,01	53,01	46,02
II	Obciążenie:										
1	Typ anteny	Huawei ATR4518R6		Huawei ATR4518R6			Huawei ATR4518R6		Huawei ATR4518R6		
2	Producent anteny	Huawei		Huawei			Huawei		Huawei		
3	Nazwa anteny	11_HV	11_HV	12_GHLNT	12_GHLNT	12_GHLNT	21_HV	21_HV	22_GHLNT	22_GHLNT	22_GHLNT
4	Ilość anten	1		1			1		1		
5	Azymut	0					130				
6	Zakres kątów pochylenia anten [°]	0,00-10,00					0,00-10,00				
7	Wysokość zainst. n.p.t. [m]	41,00					41,00				
8	EIRP [W]	11812		23089			11812		23089		

Charakterystyka promieniowania		kierunkowa									
Rzeczywisty czas pracy [h/dobę]		24									
Rodzaj wytwarzanego pola		stacjonarne									
Lp.	Wyszczególnienie	sektor 3									
I	Nadajnik stacji bazowej:										
1	Typ / Producent										
2	Częstotliwość (pasmo) MHz	2600	800	2100	1800	900					
3	Maksymalna moc nadawana na sektor [dBm]	52,04	46,02	53,01	53,01	46,02					
II	Obciążenie:										
1	Typ anteny	Huawei ATR4518R6			Huawei ATR4518R6						
2	Producent anteny	Huawei			Huawei						
3	Nazwa anteny	31_HV	31_HV	32_GHLNT	32_GHLNT	32_GHLNT					
4	Ilość anten	1			1						
5	Azymut	250									
6	Zakres kątów pochylenia anten [°]	0,00-10,00									
7	Wysokość zainst. n.p.t. [m]	41,00									
8	EIRP [W]	11812			23089						

Tabela 2. Anteny radioliniowe - dane otrzymane od klienta

Charakterystyka promieniowania				kierunkowa			
Rzeczywisty czas pracy [h/dobę]				24			
Rodzaj wytwarzanego pola				stacjonarne			
Lp.	Linia radiowa			Antena			
	typ/producent	częstotliwość pracy [GHz]	moc wyjściowa [dBm]	typ/producent	średnica anteny [m]	azymut [°]	wysokość zainstalowania n.p.t. [m] (środek elektryczny anteny)
1	MINI-LINK/ERICSSON	80	18	ANT2 B 0.3 80 HP/Ericsson	0,3	141	37,30

6. Wyniki pomiarów.

Wyniki pomiarów pól elektromagnetycznych dla celów ochrony środowiska przedstawia poniższa tabela. Piony pomiarowe zostały przedstawione w zał. 2.

Nr PP	Pole-E [V/m]	Pole-E+U [V/m]	Pole-H [A/m]	Pole-H +U [A/m]	Wysokość pomiaru [m]	Współrzędne PP x, y	Opis PP	WM _E	WM _H
1	0,7*	1,26	0,002	0,003	0,3 - 2,0	53°7'57.26" N 20°22'2.81" E	otoczenie stacji bazowej - 50 m wzdłuż gł. osi promieniowania - GKP	0,046	0,046
2	0,7*	1,26	0,002	0,003	0,3 - 2,0	53°7'58.87" N 20°22'2.81" E	otoczenie stacji bazowej - 100 m wzdłuż gł. osi promieniowania - GKP	0,046	0,046
3	0,7*	1,26	0,002	0,003	0,3 - 2,0	53°8'0.49" N 20°22'2.81" E	otoczenie stacji bazowej - 150 m wzdłuż gł. osi promieniowania - GKP	0,046	0,046
4	0,7*	1,26	0,002	0,003	0,3 - 2,0	53°8'2.11" N 20°22'2.81" E	otoczenie stacji bazowej - 200 m wzdłuż gł. osi promieniowania - GKP	0,046	0,046
5	0,7*	1,26	0,002	0,003	0,3 - 2,0	53°8'3.73" N 20°22'2.81" E	otoczenie stacji bazowej - 250 m wzdłuż gł. osi promieniowania - GKP	0,046	0,046
6	0,7*	1,26	0,002	0,003	0,3 - 2,0	53°8'5.34" N 20°22'2.81" E	otoczenie stacji bazowej - 300 m wzdłuż gł. osi promieniowania - GKP	0,046	0,046
7	0,7*	1,26	0,002	0,003	0,3 - 2,0	53°8'6.96" N 20°22'2.81" E	otoczenie stacji bazowej - 350 m wzdłuż gł. osi promieniowania - GKP	0,046	0,046
8	0,7*	1,26	0,002	0,003	0,3 - 2,0	53°8'8.58" N 20°22'2.81" E	otoczenie stacji bazowej - 410 m wzdłuż gł. osi promieniowania - GKP	0,046	0,046
9	0,8	1,26	0,002	0,003	0,3 - 2,0	53°7'54.6" N 20°22'4.87" E	otoczenie stacji bazowej - 50 m wzdłuż gł. osi promieniowania - GKP	0,046	0,046
10	0,8	1,26	0,002	0,003	0,3 - 2,0	53°7'53.56" N 20°22'6.93" E	otoczenie stacji bazowej - 100 m wzdłuż gł. osi promieniowania - GKP	0,046	0,046
11	0,7*	1,26	0,002	0,003	0,3 - 2,0	53°7'52.52" N 20°22'8.99" E	otoczenie stacji bazowej - 150 m wzdłuż gł. osi promieniowania - GKP	0,046	0,046
12	0,7*	1,26	0,002	0,003	0,3 - 2,0	53°7'51.48" N 20°22'11.05" E	otoczenie stacji bazowej - 200 m wzdłuż gł. osi promieniowania - GKP	0,046	0,046
13	0,7*	1,26	0,002	0,003	0,3 - 2,0	53°7'50.44" N 20°22'13.11" E	otoczenie stacji bazowej - 250 m wzdłuż gł. osi promieniowania - GKP	0,046	0,046
14	0,7*	1,26	0,002	0,003	0,3 - 2,0	53°7'49.4" N 20°22'15.17" E	otoczenie stacji bazowej - 300 m wzdłuż gł. osi promieniowania - GKP	0,046	0,046
15	0,7*	1,26	0,002	0,003	0,3 - 2,0	53°7'48.36" N 20°22'17.23" E	otoczenie stacji bazowej - 350 m wzdłuż gł. osi promieniowania - GKP	0,046	0,046
16	0,7*	1,26	0,002	0,003	0,3 - 2,0	53°7'47.11" N 20°22'19.7" E	otoczenie stacji bazowej - 410 m wzdłuż gł. osi promieniowania - GKP	0,046	0,046
17	0,7*	1,26	0,002	0,003	0,3 - 2,0	53°7'55.09" N 20°22'0.28" E	otoczenie stacji bazowej - 50 m wzdłuż gł. osi promieniowania - GKP	0,046	0,046
18	0,7*	1,26	0,002	0,003	0,3 - 2,0	53°7'54.53" N 20°21'57.76" E	otoczenie stacji bazowej - 100 m wzdłuż gł. osi promieniowania - GKP	0,046	0,046
19	0,7*	1,26	0,002	0,003	0,3 - 2,0	53°7'53.98" N 20°21'55.23" E	otoczenie stacji bazowej - 150 m wzdłuż gł. osi promieniowania - GKP	0,046	0,046
20	0,7*	1,26	0,002	0,003	0,3 - 2,0	53°7'53.43" N 20°21'52.7" E	otoczenie stacji bazowej - 200 m wzdłuż gł. osi promieniowania - GKP	0,046	0,046

„Bez pisemnej zgody Laboratorium niniejsze sprawozdanie nie może być powielane inaczej, jak tylko w całości. Ponadto wyniki dotyczą tylko badanych obiektów przywołanych w niniejszym sprawozdaniu z badań”

Nr PP	Pole-E [V/m]	Pole-E+U [V/m]	Pole-H [A/m]	Pole-H +U [A/m]	Wysokość pomiaru [m]	Współrzędne PP x, y	Opis PP	WM _E	WM _H
21	0,7*	1,26	0,002	0,003	0,3 - 2,0	53°7'52.87" N 20°21'50.17" E	otoczenie stacji bazowej - 250 m wzdłuż gł. osi promieniowania - GKP	0,046	0,046
22	0,7*	1,26	0,002	0,003	0,3 - 2,0	53°7'52.32" N 20°21'47.65" E	otoczenie stacji bazowej - 300 m wzdłuż gł. osi promieniowania - GKP	0,046	0,046
23	0,7*	1,26	0,002	0,003	0,3 - 2,0	53°7'51.1" N 20°21'42.09" E	otoczenie stacji bazowej - 410 m wzdłuż gł. osi promieniowania - GKP	0,046	0,046
24	0,7*	1,26	0,002	0,003	0,3 - 2,0	53°7'53.13" N 20°22'6.19" E	otoczenie stacji bazowej - 100 m wzdłuż gł. osi promieniowania - GKP	0,046	0,046
25	0,7*	1,26	0,002	0,003	0,3 - 2,0	53°7'53.9" N 20°22'1.1" E	otoczenie stacji bazowej - PKP	0,046	0,046
A	0,7*	1,26	0,002	0,003	0,3 - 2,0	53°7'56.8" N 20°22'2.0" E	ul. Brzozowa, brak numeru na elewacji, pomiar przy budynku - DPP	0,046	0,046
B	0,7*	1,26	0,002	0,003	0,3 - 2,0	53°7'57.9" N 20°22'2.0" E	ul. Brzozowa, brak numeru na elewacji, pomiar przy budynku - DPP	0,046	0,046
C	0,7*	1,26	0,002	0,003	0,3 - 2,0	53°7'58.1" N 20°21'59.9" E	ul. Brzozowa 11a, pomiar przy budynku - DPP	0,046	0,046
D	0,7*	1,26	0,002	0,003	0,3 - 2,0	53°7'56.9" N 20°21'59.8" E	ul. Brzozowa 18, pomiar przy budynku - DPP	0,046	0,046
E	0,7*	1,26	0,002	0,003	0,3 - 2,0	53°7'56.7" N 20°22'4.9" E	ul. Podborna 4, pomiar przy budynku - DPP	0,046	0,046
F	0,7*	1,26	0,002	0,003	0,3 - 2,0	53°7'58.2" N 20°22'4.5" E	ul. Podborna 6, pomiar przy budynku - DPP	0,046	0,046
G	0,7*	1,26	0,002	0,003	0,3 - 2,0	53°8'4.2" N 20°22'2.0" E	ul. Sosnowa 8, pomiar przy budynku - DPP	0,046	0,046
H	0,7*	1,26	0,002	0,003	0,3 - 2,0	53°8'5.8" N 20°22'4.2" E	ul. Sosnowa 12, pomiar przy budynku - DPP	0,046	0,046
I	0,7*	1,26	0,002	0,003	0,3 - 2,0	53°8'7.1" N 20°22'3.4" E	ul. Sosnowa 15, pomiar przy budynku - DPP	0,046	0,046
J	0,7*	1,26	0,002	0,003	0,3 - 2,0	53°7'52.5" N 20°21'46.2" E	al. Marszałkowska 4, pomiar przy budynku - DPP	0,046	0,046
K	0,7*	1,26	0,002	0,003	0,3 - 2,0	53°7'51.2" N 20°21'44.1" E	ul. Cmentarna 34, pomiar przy budynku - DPP	0,046	0,046
L	0,7*	1,26	0,002	0,003	0,3 - 2,0	53°7'51.1" N 20°21'42.5" E	ul. Cmentarna 33/33a, pomiar przy budynku - DPP	0,046	0,046

Wynik pomiaru pole - E [V/m] - maksymalna wartość chwilowa zmierzona w danym pionie pomiarowym (uśredniona na podstawie punktu 11 załącznika do Rozporządzenia Ministra Klimatu z dnia 17 lutego 2020 r. w sprawie sposobów sprawdzania dotrzymania dopuszczalnych poziomów pól elektromagnetycznych w środowisku (Dz.U. 2020 poz. 258, Dz.U. 2022 poz. 1121)). Zgodnie z pkt. 7 załącznika do Rozporządzenia Ministra Klimatu z dnia 17 lutego 2020 r. w sprawie sposobów sprawdzania dotrzymania dopuszczalnych poziomów pól elektromagnetycznych w środowisku (Dz.U. 2020 poz. 258, Dz.U. 2022 poz. 1121) nie stosuje się poprawek pomiarowych.

Przyjęto najniższą dopuszczalną wartość składowej elektrycznej pola dla objętego pomiarami zakresu częstotliwości $\min(\text{MEgr}) = 28 \text{ V/m}$ oraz składowej magnetycznej $\min(\text{MHgr}) = 0,073 \text{ A/m}$.

* - wartość zmierzona poniżej zakresu akredytacji. Do obliczeń przyjęto wartość zgodną z dolną granicą akredytowanego zakresu pomiarowego metody.

GKP - główne kierunki pomiarowe

PKP - pomocnicze kierunki pomiarowe

DPP - dodatkowe punkty pomiarowe

PP - pion pomiarowy

U - niepewność pomiarowa rozszerzona, przy poziomie ufności 95%, z uwzględnieniem współczynnika rozszerzenia $k=2$

WM_E - wartość wskaźnikowa poziomu emisji pól elektromagnetycznych dla miejsc dostępnych dla ludności dla składowej elektrycznej pola

WM_H - wartość wskaźnikowa poziomu emisji pól elektromagnetycznych dla miejsc dostępnych dla ludności dla składowej magnetycznej pola

7. Stwierdzenie zgodności

Na podstawie wytycznych podanych w Rozporządzeniu Ministra Zdrowia z dnia 17 grudnia 2019 r. w sprawie dopuszczalnych poziomów pól elektromagnetycznych w środowisku (Dz.U. 2019 poz. 2448) oraz sposobów sprawdzania dotrzymania tych poziomów zgodnie z Rozporządzeniem Ministra Klimatu z dnia 17 lutego 2020 r. w sprawie sposobów sprawdzania dotrzymania dopuszczalnych poziomów pól elektromagnetycznych w środowisku (Dz.U. 2020 poz. 258) oraz Rozporządzeniem Ministra Klimatu i Środowiska z dnia 6 maja 2022 r. zmieniającego rozporządzenie w sprawie sposobów sprawdzania dotrzymania dopuszczalnych poziomów pól elektromagnetycznych w środowisku (Dz.U. 2022 poz. 1121), dotyczących źródła wymagań, które muszą być spełnione, w oparciu o zasadę podejmowania decyzji zgodną z pkt. 26 Rozporządzenia Ministra Klimatu z dnia 17 lutego 2020 r. (Dz.U. 2020 poz. 258), na podstawie wyników pomiarów pól elektromagnetycznych wykonanych w dniu 2023-01-10 stwierdzono, że wszystkie wyniki przeprowadzonych pomiarów w danym obszarze pomiarowym oraz wyznaczone na tej podstawie wskaźniki WME oraz WMH są mniejsze od wartości dopuszczalnych – zgodnie z przepisami wydanymi na podstawie art. 122 ust. 1 ustawy z dnia 27 kwietnia 2001 r. – Prawo ochrony środowiska – załącznikiem do Rozporządzenia Ministra Klimatu i Środowiska z dnia 17 lutego 2020 r. w sprawie sposobów sprawdzania dotrzymania dopuszczalnych poziomów pól elektromagnetycznych w środowisku (Dz.U. 2020 poz. 258, pkt 26).

8. Oświadczenie.

Wyniki badania odnoszą się wyłącznie do badanego obiektu.

Bez pisemnej zgody sprawozdanie nie może być powielane inaczej, jak tylko w całości.

Uwagi i zastrzeżenia przyjmowane są w formie pisemnej.

9. Spis załączników.

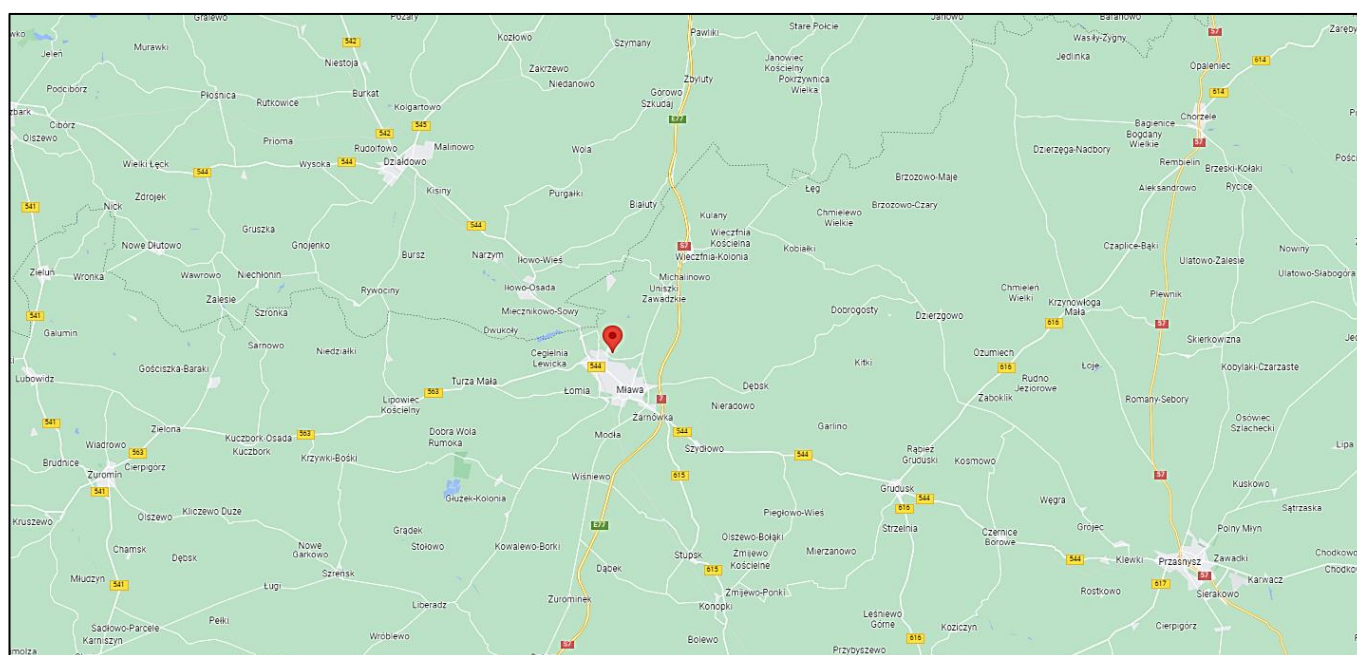
Załącznik 1. Lokalizacja obiektu.

Załącznik 2. Widok pionów pomiarowych

Załącznik 3. Widok stacji bazowej

Koniec sprawozdania

Załącznik 1. Lokalizacja obiektu

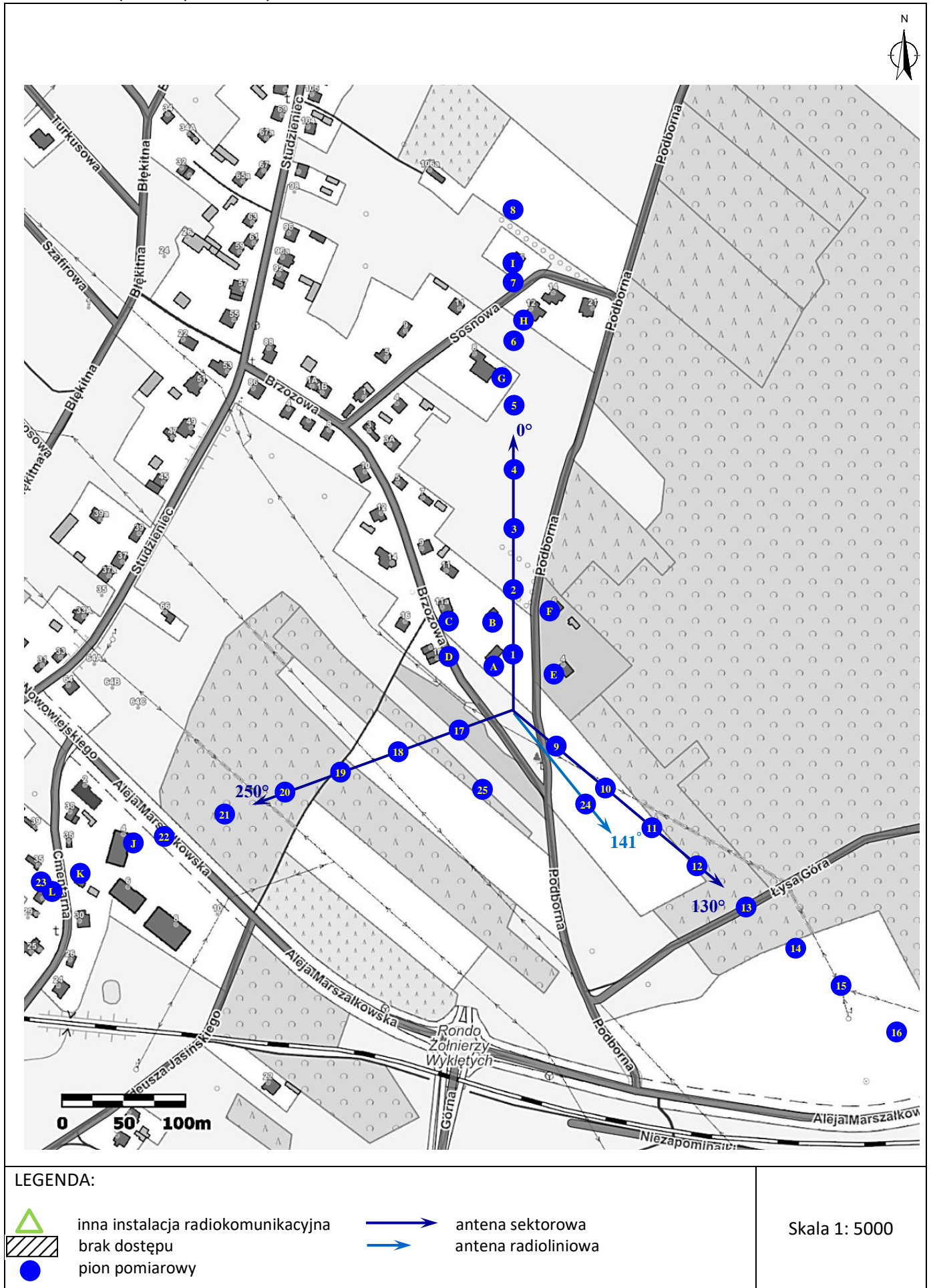


Współrzędne geograficzne

szerokość: 53°07'55.41"N

długość: 20°22'03.23"E

Załącznik 2. Widok pionów pomiarowych



„Bez pisemnej zgody Laboratorium niniejsze sprawozdanie nie może być powielane inaczej, jak tylko w całości. Ponadto wyniki dotyczą tylko badanych obiektów przywołanych w niniejszym sprawozdaniu z badań”

Załącznik 3. Załączniki graficzne

